



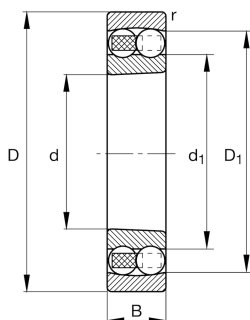
FAG

2313-K-M-C3

Радиальный сферический шарикоподшипник

Радиальный сферический шарикоподшипник 23...-K-M, коническое отверстие, конусность 1:12, массивный латунный сепаратор

Техническая информация



Ваш текущий вариант продукта

Исполнение отверстия	K	Коническое, 1:12
Уплотнение	Without	Not sealed
Cage	M	Solid brass cage, ball guided
Tolerance class	PN	Tolerance class PN, acc. to DIN 620
Радиальный зазор	C3 (Group 3)	Internal clearance larger than CN
Lubricant	Without	Bearing not greased

Основные размеры и рабочие характеристики

d	65 mm	Диаметр отверстия
D	140 mm	Наружный диаметр
B	48 mm	Ширина
C _r	98.000 N	Динамическая грузоподъемность, радиальная
C _{0r}	32.500 N	Статическая грузоподъемность, радиальная
C _{ur}	2.040 N	Предел усталостной нагрузки, радиальный
n _G	7.100 1/min	Предельная частота вращения
n _{gr}	6.100 1/min	Номинальная тепловая частота вращения
m	3,493 kg	Вес



Присоединительные размеры

$d_{a \min}$	77 mm	Мин. диаметр заплечика вала
$d_{a \max}$	82 mm	Макс. диаметр заплечика вала
$D_{a \max}$	128 mm	Макс. диаметр заплечика корпуса
$d_{b \min}$	72 mm	Мин. диаметр под втулку
$B_{a \min}$	6 mm	Мин. глубина под втулку
$r_{a \max}$	2,1 mm	Макс. радиус галтели

Габаритные размеры

r_{\min}	2,1 mm	Мин. размер монтажной фаски
D_1	118,26 mm	Диаметр заплечика для наружного кольца
d_1	85,56 mm	Диаметр заплечика внутреннего кольца

Диапазон температур

T_{\min}	-30 °C	Мин. рабочая температура
T_{\max}	150 °C	Макс. рабочая температура

Коэффициенты для расчета

e	0,39	Предельное значение F_a/F_r для применимости различн. значений коэффициентов X и Y
Y_1	1,62	Динамический коэффициент осевой нагрузки
Y_2	2,51	Динамический коэффициент осевой нагрузки
Y_0	1,7	Статический коэффициент осевой нагрузки

Дополнительная информация

H2313

Закрепительная втулка



Характеристики



Радиальная нагрузка



Осевая нагрузка в одном направлении



Осевая нагрузка в обоих направлениях



Смазывание пластичной смазкой



Смазывание маслом



Без уплотнений



Статические угловые и линейные несоосности



Динамические угловые и линейные несоосности